

สารบัญ

	หน้า
กิตติกรรมประกาศ	ค
บทคัดย่อภาษาไทย	๑
บทคัดย่อภาษาอังกฤษ	๒
สารบัญตาราง	๓
สารบัญภาพ	๔
อักษรย่อและสัญลักษณ์	๕
บทที่ 1 บทนำ	๖
บทที่ 2 ทบทวนวรรณกรรม	๗
- ลักษณะของพืชในวงศ์ Zingiberaceae	๘
- การจัดหมวดหมู่ของวงศ์ Zingiberaceae	๙
- ลักษณะของพืชสกุล Amomum	๑๐
- ประวัติความเป็นมาของน้ำมันหอมระ夷	๑๑
- การกระจายของน้ำมันหอมระ夷ในพืช	๑๒
- คุณสมบัติทางเคมีภysis ของน้ำมันหอมระ夷	๑๓
- องค์ประกอบทางเคมี	๑๔
- Biosynthesis pathway	๑๕
- ประโยชน์ของน้ำมันหอมระ夷	๑๖
- อนุมูลอิสระ	๑๗
- ออกซิเดชัน	๑๘
- อนุมูลอิสระและสารที่เกี่ยวข้องที่มีออกซิเจนเป็นองค์ประกอบสำคัญ	๑๙
- อนุมูลอิสระและสารที่เกี่ยวข้องที่มีในโตรเจนเป็นองค์ประกอบสำคัญ	๒๐
- แหล่งที่มาของอนุมูลอิสระ	๒๑
- ปฏิกิริยาการเกิดอนุมูลอิสระ	๒๒
- บทบาทอนุมูลอิสระกับโรคและการป้องกัน	๒๓
- กลไกความเสียหายจากการที่ไอลีปิดฤทธิ์ออกซิไดซ์	๒๔
	๒๕
	๒๖

- กล ไกการเกิดความเสียหายจากการที่ดีเอ็นเอถูกออกซิไดซ์	27
- กล ไกการเกิดความเสียหายจากการที่โปรตีนถูกออกซิไดซ์	28
- อนุมูลอิสระกับกระบวนการการเกิดโรค	29
- สารต้านอนุมูลอิสระ	30
- ผลของสารต้านอนุมูลอิสระ	30
- การป้องกันอันตรายและความเสียหายที่เกิดจากอนุมูลอิสระ	31
- การวัดฤทธิ์ต้านออกซิเดชัน	34
- วิธีการที่นำมาใช้วัดฤทธิ์ต้านออกซิเดชันในการศึกษารังน้ำ	35
- วิธีการทดสอบความวิตกกังวลในสัตว์ทดลอง	36
บทที่ 3 วิธีการทดลอง	39
- ตัวอย่างพืช	39
- สารเคมี อุปกรณ์ และเครื่องมือ	39
- วิธีการทดลอง	41
บทที่ 4 ผลการทดลอง	48
- การศึกษาคุณสมบัติทางเคมีและกายภาพ	48
- การศึกษาฤทธิ์ต้านอนุมูลอิสระ	77
- การศึกษาฤทธิ์ต่อระบบประสาทส่วนกลางของน้ำมันหอมระเหย ในสัตว์ทดลอง	81
บทที่ 5 สรุปและวิจารณ์ผลการทดลอง	85
เอกสารอ้างอิง	91
ภาคผนวก	95
ประวัติผู้เขียน	117

สูตรสมน้ำวิทยาลัยเชียงใหม่
 Copyright © by Chiang Mai University –
 All rights reserved

สารบัญตาราง

ตาราง

	หน้า
1 แสดงค่าความหนาแน่นสัมพัทธ์ของน้ำมันหอมระเหยจากใบว่านสาวหลง	48
2 แสดงค่าดัชนีหักเหของน้ำมันหอมระเหยจากว่านสาวหลง	49
3 แสดงค่าการเมี่ยงเบนแสลงของน้ำมันหอมระเหยจากว่านสาวหลง	50
4 แสดงความเข้ากันได้กับ ethanol	51
5 แสดงปริมาณน้ำในตัวอย่างจากเหลือง CM1	52
6 แสดงปริมาณน้ำในตัวอย่างจากเหลือง CM2	52
7 แสดงปริมาณน้ำในตัวอย่างจากเหลือง CM3	53
8 แสดงปริมาณน้ำในตัวอย่างจากเหลือง LPN	53
9 แสดงปริมาณน้ำในตัวอย่างจากเหลือง PRA	54
10 แสดงปริมาณน้ำมันหอมระเหยที่ได้จากเหลือง CM1	54
11 แสดงปริมาณน้ำมันหอมระเหยที่ได้จากเหลือง CM2	55
12 แสดงปริมาณน้ำมันหอมระเหยที่ได้จากเหลือง CM3	55
13 แสดงปริมาณน้ำมันหอมระเหยที่ได้จากเหลือง LPN	56
14 แสดงปริมาณน้ำมันหอมระเหยที่ได้จากเหลือง PRA	56
15 แสดงสมบัติทางเคมีและกายภาพของน้ำมันหอมระเหยจากว่านสาวหลงทั้ง 5 เหลือง	57
16 แสดงค่า Wavenumber ของน้ำมันหอมระเหยของใบว่านสาวหลงแต่ละเหลือง	59
17 แสดงค่า Wavenumber ของน้ำมันหอมระเหยของก้านใบว่านสาวหลงแต่ละเหลือง	60
18 แสดงค่า Wavenumber ของน้ำมันหอมระเหยของลำต้นไดคินว่านสาวหลงแต่ละเหลือง	61
19 แสดงองค์ประกอบทางเคมีของน้ำมันหอมระเหยของใบ	63
20 แสดงองค์ประกอบทางเคมีของน้ำมันหอมระเหยของก้านใบ	63
21 แสดงองค์ประกอบทางเคมีของน้ำมันหอมระเหยของลำต้นไดคิน	64
22 แสดงค่า R_f ของน้ำมันหอมระเหยของใบว่านสาวหลงในแต่ละเหลือง	65
23 แสดงค่า R_f ของน้ำมันหอมระเหยของใบว่านสาวหลงในแต่ละเหลือง	66
24 แสดงค่า R_f ของน้ำมันหอมระเหยของใบว่านสาวหลงในแต่ละเหลือง	67
25 แสดงค่า R_f ของน้ำมันหอมระเหยของใบว่านสาวหลงในแต่ละเหลือง	68

26 แสดงค่า R_f ของน้ำมันหอมระเหยของก้านใบว่านสาวหลงในแต่ละแหล่ง	69
27 แสดงค่า R_f ของน้ำมันหอมระเหยของก้านใบว่านสาวหลงในแต่ละแหล่ง	70
28 แสดงค่า R_f ของน้ำมันหอมระเหยของก้านใบว่านสาวหลงในแต่ละแหล่ง	71
29 แสดงค่า R_f ของน้ำมันหอมระเหยของก้านใบว่านสาวหลงในแต่ละแหล่ง	72
30 แสดงค่า R_f ของน้ำมันหอมระเหยของลำต้นใต้ดินว่านสาวหลงในแต่ละแหล่ง	73
31 แสดงค่า R_f ของน้ำมันหอมระเหยของลำต้นใต้ดินว่านสาวหลงในแต่ละแหล่ง	74
32 แสดงค่า R_f ของน้ำมันหอมระเหยของลำต้นใต้ดินว่านสาวหลงในแต่ละแหล่ง	75
33 แสดงค่า R_f ของน้ำมันหอมระเหยของลำต้นใต้ดินว่านสาวหลงในแต่ละแหล่ง	76
34 แสดงฤทธิ์ต้านอนุญาติสระของน้ำมันหอมระเหยจากว่านสาวหลง โดยวิธี ABTS	77
35 แสดงฤทธิ์ต้านอนุญาติสระของน้ำมันหอมระเหยจากว่านสาวหลง โดยวิธี FRAP	78
36 แสดงฤทธิ์ต้านอนุญาติสระของน้ำมันหอมระเหยจากว่านสาวหลงจากวิธี ABTS และ FRAP	79
37 แสดงผลของน้ำมันหอมระเหยจากว่านสาวหลงต่อระยะเวลาที่หมุดินในช่วงเวลาต่างๆ ในเวลากลางวัน	81
38 แสดงผลของน้ำมันหอมระเหยจากว่านสาวหลงต่อระยะเวลาที่หมุดินในช่วงเวลาต่างๆ ในเวลากลางคืน	81
39 แสดงการเปรียบเทียบจำนวนครั้งของอนุพันธุ์ที่อยู่ในแต่ละช่องของพื้นที่เมื่อได้รับน้ำมันหอมระเหย	83
40 แสดงการเปรียบเทียบระยะเวลาการอนหลับของสัตว์ทดลองเมื่อได้รับน้ำมันหอมระเหย	84

สารน้ำมันภาค

ภาค	หน้า
1 แสดงการชีวสังเคราะห์ของสารกลุ่ม phenylpropane	14
2 แสดงการชีวสังเคราะห์ของสารกลุ่ม terpene	15
3 แสดง GC chromatogram ของน้ำมันหอมระ夷ของใบว่านสาหร่าย	62
4 แสดง GC chromatogram ของน้ำมันหอมระ夷ของก้านใบว่านสาหร่าย	62
5 แสดง GC chromatogram ของน้ำมันหอมระ夷ของลำต้นได้คืนว่านสาหร่าย	62
6 แสดง TLC chromatogram ของน้ำมันหอมระ夷ของใบว่านสาหร่าย	65
7 แสดง TLC chromatogram ของน้ำมันหอมระ夷ของใบว่านสาหร่าย	66
8 แสดง TLC chromatogram ของน้ำมันหอมระ夷ของใบว่านสาหร่าย	67
9 แสดง TLC chromatogram ของน้ำมันหอมระ夷ของใบว่านสาหร่าย	68
10 แสดง TLC chromatogram ของน้ำมันหอมระ夷ของก้านใบว่านสาหร่าย	69
11 แสดง TLC chromatogram ของน้ำมันหอมระ夷ของก้านใบว่านสาหร่าย	70
12 แสดง TLC chromatogram ของน้ำมันหอมระ夷ของก้านใบว่านสาหร่าย	71
13 แสดง TLC chromatogram ของน้ำมันหอมระ夷ของก้านใบว่านสาหร่าย	72
14 แสดง TLC chromatogram ของน้ำมันหอมระ夷ของลำต้นได้คืนว่านสาหร่าย	73
15 แสดง TLC chromatogram ของน้ำมันหอมระ夷ของลำต้นได้คืนว่านสาหร่าย	74
16 แสดง TLC chromatogram ของน้ำมันหอมระ夷ของลำต้นได้คืนว่านสาหร่าย	75
17 แสดง TLC chromatogram ของน้ำมันหอมระ夷ของลำต้นได้คืนว่านสาหร่าย	76
18 แผนภูมิเท่งเบรียบเทียบฤทธิ์ต้านอนุมูลอิสระของน้ำมันหอมระ夷จากว่านสาหร่าย จากแหล่งต่างๆ เทียบกับ Trolox	79
19 แผนภูมิเท่งเบรียบเทียบฤทธิ์ต้านอนุมูลอิสระของน้ำมันหอมระ夷จากว่านสาหร่าย จากแหล่งต่างๆ เทียบกับ Iron sulfate	80
20 แผนภูมิเท่งเบรียบเทียบฤทธิ์ต้านอนุมูลอิสระของน้ำมันหอมระ夷จากว่านสาหร่าย จากแหล่งต่างๆ เทียบกับ Trolox	80
21 แผนภูมิเท่งเบรียบเทียบ locomotor activities ของหนูเมี้ยวได้รับน้ำมันหอมระ夷ที่ใน เวลา 1 ชั่วโมง ทำการทดสอบในช่วงกลางวัน	82

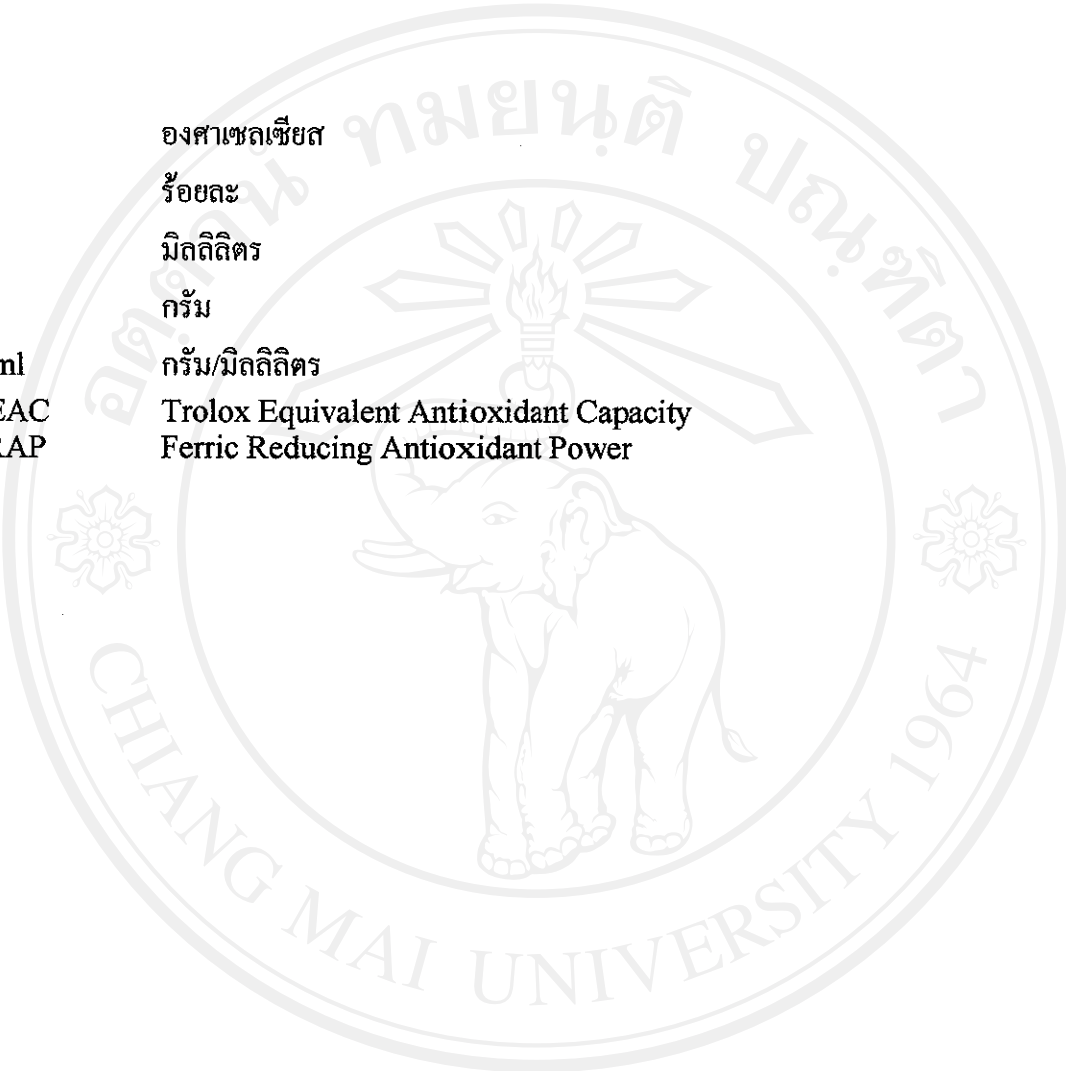
22 แผนภูมิเท่งเปรียบเทียบ locomotor activities ของหนูเมี้ยวได้รับน้ำมันหอมระ夷ที่ในเวลา 1 ชั่วโมง ทำการทดลองในช่วงกลางคืน	82
23 แผนภูมิเท่งเปรียบเทียบจำนวนครั้งที่หนูอยู่ในพื้นที่ด้านซ้ายและตรงกลาง	83
24 แสดง IR chromatogram ของน้ำมันหอมระ夷ของใบว่านสาหร่าย จากแหล่ง CM1	95
25 แสดง IR chromatogram ของน้ำมันหอมระ夷ของก้านใบว่านสาหร่าย จากแหล่ง CM1	96
26 แสดง IR chromatogram ของน้ำมันหอมระ夷ของลำต้นได้คินว่าวนสาหร่าย จากแหล่ง CM1	96
27 แสดง IR chromatogram ของน้ำมันหอมระ夷ของใบว่านสาหร่าย จากแหล่ง CM2	97
28 แสดง IR chromatogram ของน้ำมันหอมระ夷ของก้านใบว่านสาหร่าย จากแหล่ง CM2	97
29 แสดง IR chromatogram ของน้ำมันหอมระ夷ของลำต้นได้คินว่าวนสาหร่าย จากแหล่ง CM2	98
30 แสดง IR chromatogram ของน้ำมันหอมระ夷ของใบว่านสาหร่าย จากแหล่ง CM3	98
31 แสดง IR chromatogram ของน้ำมันหอมระ夷ของก้านใบว่านสาหร่าย จากแหล่ง CM3	99
32 แสดง IR chromatogram ของน้ำมันหอมระ夷ของลำต้นได้คินว่าวนสาหร่าย จากแหล่ง CM3	99
33 แสดง IR chromatogram ของน้ำมันหอมระ夷ของใบว่านสาหร่าย จากแหล่ง LPN	100
34 แสดง IR chromatogram ของน้ำมันหอมระ夷ของก้านใบว่านสาหร่าย จากแหล่ง LPN	100
35 แสดง IR chromatogram ของน้ำมันหอมระ夷ของลำต้นได้คินว่าวนสาหร่าย จากแหล่ง LPN	101

36 แสดง IR chromatogram ของน้ำมันหอมระเหยของใบว่านสาวหลง จากแหล่ง PRA	101
37 แสดง IR chromatogram ของน้ำมันหอมระเหยของก้านใบว่านสาวหลง จากแหล่ง PRA	102
38 แสดง IR chromatogram ของน้ำมันหอมระเหยของลำต้นได้คินว่านสาวหลง จากแหล่ง PRA	102
39 แสดง GC chromatogram ของน้ำมันหอมระเหยของใบว่านสาวหลง จากแหล่ง CM1	103
40 แสดง GC chromatogram ของน้ำมันหอมระเหยของก้านใบว่านสาวหลง จากแหล่ง CM1	103
41 แสดง GC chromatogram ของน้ำมันหอมระเหยของลำต้นได้คินว่านสาวหลง จากแหล่ง CM1	104
42 แสดง GC chromatogram ของน้ำมันหอมระเหยของใบว่านสาวหลง จากแหล่ง CM2	104
43 แสดง GC chromatogram ของน้ำมันหอมระเหยของก้านใบว่านสาวหลง จากแหล่ง CM2	105
44 แสดง GC chromatogram ของน้ำมันหอมระเหยของลำต้นได้คินว่านสาวหลง จากแหล่ง CM2	105
45 แสดง GC chromatogram ของน้ำมันหอมระเหยของใบว่านสาวหลง จากแหล่ง CM3	106
46 แสดง GC chromatogram ของน้ำมันหอมระเหยของก้านใบว่านสาวหลง จากแหล่ง CM3	106
47 แสดง GC chromatogram ของน้ำมันหอมระเหยของลำต้นได้คินว่านสาวหลง จากแหล่ง CM3	107
48 แสดง GC chromatogram ของน้ำมันหอมระเหยของใบว่านสาวหลง จากแหล่ง LPN	107
49 แสดง GC chromatogram ของน้ำมันหอมระเหยของก้านใบว่านสาวหลง จากแหล่ง LPN	108

50 แสดง GC chromatogram ของน้ำมันหอมระ夷ของลำต้นได้คืนวันสาวหลง จากแหล่ง LPN	108
51 แสดง GC chromatogram ของน้ำมันหอมระ夷ของใบวันสาวหลง จากแหล่ง PRA	109
52 แสดง GC chromatogram ของน้ำมันหอมระ夷ของก้านใบวันสาวหลง จากแหล่ง PRA	109
53 แสดง GC chromatogram ของน้ำมันหอมระ夷ของลำต้นได้คืนวันสาวหลง จากแหล่ง PRA	110
54 กราฟมาตราฐานแสดงความสัมพันธ์ระหว่างปริมาณ Trolox และ % Inhibition เมื่อใช้วิธี ABTS method	111
55 กราฟมาตราฐานแสดงความสัมพันธ์ระหว่างปริมาณ Iron sulfate และ Absorbance เมื่อใช้วิธี FRAP method	111
56 กราฟมาตราฐานแสดงความสัมพันธ์ระหว่างปริมาณ Trolox และ Absorbance เมื่อใช้วิธี FRAP method	111
57 แสดง Mass spectrum ของ α -thujene	112
58 แสดง Mass spectrum ของ α -pinene	112
59 แสดง Mass spectrum ของ camphene	112
60 แสดง Mass spectrum ของ β -pinene	113
61 แสดง Mass spectrum ของ α -fenchene	113
62 แสดง Mass spectrum ของ 1,8-cineole	113
63 แสดง Mass spectrum ของ bicyclo(2.2.1)heptan-2-one	114
64 แสดง Mass spectrum ของ 1-methoxy-4-(tran-2-butenyl)benzene	114
65 แสดง Mass spectrum ของ ρ -(1-butenyl)anisole	114
66 แสดง Mass spectrum ของ β -santalol	115
67 แสดง Mass spectrum ของ tran- α -bergamotene	115
68 แสดง Mass spectrum ของ γ -elemene	115
69 แสดง Mass spectrum ของ γ -epoxy-elemene	116

อักษรย่อและสัญลักษณ์

°C	องศาเซลเซียส
%	ร้อยละ
ml	มิลลิลิตร
g	กรัม
g/ml	กรัม/มิลลิลิตร
TEAC	Trolox Equivalent Antioxidant Capacity
FRAP	Ferric Reducing Antioxidant Power



จิฬิสรัตนมหาวิทยาลัยเชียงใหม่
Copyright © by Chiang Mai University
All rights reserved